

La falacia del empate técnico electoral

Arturo Erdely*

Facultad de Estudios Superiores Acatlán
Universidad Nacional Autónoma de México
arturo.erdely@comunidad.unam.mx

Resumen

Se argumenta que el concepto de “empate técnico” en encuestas y conteos rápidos electorales no tiene fundamento probabilístico, y que en su lugar la incertidumbre asociada a dichos ejercicios estadísticos debiera expresarse en términos de una probabilidad de triunfo del candidato puntero.

Palabras clave: empate técnico, encuesta electoral, conteo rápido, probabilidad de triunfo.

ÍNDICE

1. Introducción.
2. ¿Qué es “empate técnico”?
3. Contraejemplos.
4. La elección presidencial de México en 2006.
5. Conclusiones.

1. Introducción

Un *evento* es una aseveración (o proposición lógica) que resultará verdadera o falsa una vez que se conozca el resultado del fenómeno (o experimento) al que se encuentra asociado. Si en un momento dado el resultado de dicho fenómeno es incierto, también lo es la ocurrencia de (casi) cualquier evento asociado a él. De acuerdo a Lindley (2000) la disciplina conocida como *Estadística* tiene por objetivo central el estudio de la incertidumbre, particularmente la cuantificación y combinación de incertidumbres, auxiliándose de la *Teoría de la Probabilidad* y con base en información muestral:

*“... the statistician’s role is to assist workers in other fields, the clients, who encounter uncertainty in their work. In practice, there is a restriction in that statistics is ordinarily associated with data; and it is the link between the uncertainty, or variability, in the data and that in the topic itself that has occupied statisticians [...] A scientific approach would mean the **measurement of uncertainty**; for, to follow Kelvin, it is only by associating numbers with any scientific concept that the concept can be properly understood.”*

Si \mathcal{E} representa un evento de interés cuya ocurrencia es incierta, desde un punto de vista estadístico se busca cuantificar probabilísticamente el grado de incertidumbre que al respecto se tiene con base en la información disponible en un determinado momento en el tiempo. Lo usual es asociar a un evento de interés \mathcal{E} un número en el intervalo $[0, 1]$ que se denota $\mathbb{P}(\mathcal{E})$ y denomina *probabilidad del evento* \mathcal{E} , bajo la convención de que

*Sitio personal en internet <https://sites.google.com/site/arturoerdely>

valores más cercanos a 1 que a 0 representan mayor cercanía a la certidumbre de ocurrencia del evento, que valores más cercanos a 0 que a 1 representan mayor cercanía a la certidumbre de no ocurrencia del evento, y por tanto $\mathbb{P}(\mathcal{E}) = 0.5$ representa el mayor nivel de incertidumbre.

Si consideramos, por ejemplo, la elección presidencial de México en el año 2018 y es de interés el evento

$$\mathcal{E} = \text{“el candidato López Obrador gana la elección presidencial”},$$

dependiendo de la información que en cada momento del proceso electoral se tenga es posible la asignación de distintas probabilidades a la ocurrencia de dicho evento. Antes del día de la elección es posible recurrir a diversos tipos de *encuestas electorales* consistentes en preguntar a un subconjunto (muestra) de los posibles votantes cuál es su preferencia electoral, realizar un análisis estadístico de la información recabada y hacer inferencias sobre el resultado de la elección. Dicho ejercicio involucra diversas fuentes de variabilidad que afectan la medición de la incertidumbre de interés: tamaño y representatividad de la muestra de votantes, la honestidad en sus respuestas y la no respuesta, así como los posibles cambios de opinión posteriores al levantamiento de la muestra, entre otros.

El día de la elección también es posible recurrir a otro tipo de ejercicios para inferir el resultado de la misma, antes de que varios días después se conozca el resultado del recuento total de votos emitidos: la *encuesta de salida* y el *conteo rápido*. La **encuesta de salida** consiste igualmente en preguntar a un subconjunto de las personas que ejercieron su voto por cuál candidato votaron justo al momento de salir de la casilla de votación, y en el análisis estadístico de la información recabada será nuevamente necesario considerar las fuentes de variabilidad ya mencionadas. El **conteo rápido** consiste en realizar una inferencia estadística respecto al resultado de la elección con base en un subconjunto (muestra) del total de *actas de escrutinio y cómputo*, que son documentos llenados y firmados por los funcionarios de cada casilla electoral en donde asentaron el resultado del conteo de votos en la casilla correspondiente. Gracias a esto, se eliminan algunas fuentes importantes de variabilidad que tienen las encuestas electorales, como es el caso de la deshonestidad, la no respuesta o el cambio de opinión, pero persiste la proveniente del tamaño y *representatividad de la muestra*, entendiéndose por esto último que la muestra analizada se “parezca mucho” en preferencias electorales al conjunto total de votación emitida, y esto es posible lograrlo con la adecuada aplicación de *técnicas de muestreo* y una eficiente implementación logística y tecnológica por parte de las autoridades electorales encargadas de dicho proceso.

En tiempos de procesos electorales y ejercicios estadísticos para realizar inferencias sobre los posibles resultados, en México y algunos otros países es común que empresas encuestadoras, políticos, analistas y hasta autoridades electorales hablen de que un momento dado existe “empate técnico” entre dos candidatos punteros y que por tanto no es estadísticamente posible inferir un ganador. El presente artículo tiene por objetivo argumentar que:

- El empleo de la expresión “empate técnico” no tiene sustento probabilístico y por tanto no debiera utilizarse en inferencias estadísticas derivadas de encuestas y conteos rápidos electorales.
- La incertidumbre sobre el posible resultado de una elección debiera expresarse mediante la estimación de la probabilidad de triunfo del candidato puntero.

Primero se analizará lo que usualmente se entiende por “empate técnico” y se utilizarán argumentos intuitivos para criticar esta expresión. Después se abordarán algunos contraejemplos teóricos para demostrar que la probabilidad de triunfo de un candidato puede ser significativamente elevada a pesar de existir “empate técnico”. Posteriormente se analizará el caso de la elección presidencial en México del año 2006 por tratarse de un caso en que (aparentemente) el resultado del conteo rápido no permitía una inferencia confiable.

2. ¿Qué es “empate técnico”?

Se denotará mediante la letra griega θ la proporción de votos que obtendrá un candidato participante en una elección entre dos o más candidatos, cantidad que en el lenguaje de la Estadística se denomina *parámetro*

de interés, cuyo valor es desconocido antes del recuento total de votos de dicha elección, y por tanto se desea recabar información que sea estadísticamente analizable para realizar algún tipo de *inferencia estadística* respecto a dicho parámetro.

Una *estimación puntual* de θ consiste en calcular un valor $\hat{\theta}$ en el intervalo $[0, 1]$ (por tratarse de una proporción) con base en información recabada para tal fin, de modo que pueda considerarse una buena aproximación (en algún sentido estadístico) del valor desconocido θ .

Una *estimación por intervalo* de θ consiste en calcular un intervalo $[a, b]$ de forma tal que el valor desconocido θ tenga una *aceptablemente elevada* probabilidad de estar dentro de dicho intervalo. Respecto a esto último es importante aclarar el uso de la expresión “aceptablemente elevada”: una estimación por intervalo para θ que no requiere esfuerzo alguno y que además tiene la probabilidad máxima de 1 (es decir, 100%) de contener el verdadero valor de θ es justamente el intervalo $[0, 1]$, lo cual es tan cierto como inútil. Es posible construir intervalos de estimación de modo que su longitud $b - a$ sea mucho menor, pero sacrificando un poco la probabilidad de que dicho intervalo contenga al verdadero valor de θ . ¿Cuánto sacrificar? Eso es totalmente arbitrario y su especificación ya no es un problema estadístico sino de criterio y decisión de quien aplica la técnica. Por ejemplo, el *Instituto Nacional Electoral* de México (INE, 2016) establece en su *Reglamento de Elecciones*, artículo 373, que para los conteos rápidos *institucionales*¹ debe utilizarse un nivel de 95%:

[...] d) La muestra deberá diseñarse con una **confianza**² de noventa y cinco por ciento, y con una precisión tal, que genere certidumbre estadística en el cumplimiento de los objetivos requeridos por el tipo de elección.

Respecto a la *precisión*, que denotaremos mediante una cantidad positiva ε , ésta se refiere a un *margen de error* entre la cantidad estimada $\hat{\theta}$ y la cantidad desconocida θ que se desea estimar, esto es, por ejemplo:

$$\mathbb{P}(|\theta - \hat{\theta}| \leq \varepsilon) = 0.95, \quad (1)$$

donde el valor a utilizar para ε lo determina el usuario de la técnica estadística. En el citado artículo 373 del Reglamento de Elecciones del INE (2016), por ejemplo, solo se pide un valor para ε “que genere certidumbre estadística en el cumplimiento de los objetivos requeridos por el tipo de elección”, dejándolo así abierto al criterio y decisión de quienes realicen el conteo rápido. Es importante destacar que el *tamaño de muestra* requerido para la encuesta o conteo rápido electoral, que denotaremos mediante un entero positivo n , depende del valor ε elegido, existiendo una *relación inversa* entre ellos: a menor/mayor valor de ε (esto es, a mayor/menor precisión) se requiere un mayor/menor tamaño de muestra n .

La desigualdad en (1) es equivalente a

$$\hat{\theta} - \varepsilon \leq \theta \leq \hat{\theta} + \varepsilon, \quad (2)$$

y nos permite la interpretación alternativa que, con probabilidad 95%, la proporción desconocida de votos θ estará en el intervalo

$$[a, b] = [\hat{\theta} - \varepsilon, \hat{\theta} + \varepsilon] \quad (3)$$

donde $\hat{\theta}$ es una estimación puntual de θ con base en una muestra de tamaño n y una precisión (o margen de error) dado ε . Nótese que la longitud del intervalo resultante sería $b - a = 2\varepsilon$. Así, por ejemplo, si se desea $\varepsilon = 0.005$ (esto es un margen de error de 0.5%) entonces la longitud del intervalo resultante sería del doble, esto es de 0.01 (en porcentaje: 1%).

Considerando una contienda electoral en la que participan dos o más candidatos, es posible realizar estimaciones por intervalo como en (3) de forma **individual** para cada candidato. Con toda intención se resalta

¹Por *conteo rápido institucional* se entiende aquél realizado por un *Comité Técnico Asesor de los Conteos Rápidos* de acuerdo con lo establecido en el artículo 362 del Reglamento de Elecciones del INE (2016).

²En Estadística, los términos *confianza* y *probabilidad* no son equivalentes en un sentido estricto, aunque en la práctica se les interpreta como si lo fueran, situación que no es especialmente relevante discutir para los objetivos del presente artículo.

la palabra **individual** ya que la técnica estadística para la construcción de dichos intervalos no considera la posible *interacción estadística entre candidatos*. Si se desea entrar en comparaciones y realizar una inferencia estadística respecto a qué candidato ganaría una elección, se debe recurrir a un procedimiento que incorpore además las posibles interacciones entre candidatos (ver discusión en la siguiente sección), y por tanto intervalos calculados de forma individual y que no reconocen dichas interacciones **no son intervalos estadísticamente comparables**.

Desafortunadamente, lo mencionado en el párrafo anterior es ignorado (con o sin intención) por parte de muchos de quienes realizan, analizan y difunden encuestas y conteos rápidos electorales, recurriendo a la siguiente mala *praxis* estadística: si $[a_2, b_2]$ y $[a_1, b_1]$ son dos estimaciones por intervalo de dos candidatos punteros y se cumple la relación $a_2 < a_1 < b_2 < b_1$ (traslape de intervalos) entonces lo llaman “**empate técnico**”, y en caso de que $b_2 < a_1$ (no traslape de intervalos) dicen que hay una “tendencia clara” que favorece al candidato del intervalo $[a_1, b_1]$.³

Aunque será en la siguiente sección donde se argumente formalmente por qué no tiene justificación probabilística la expresión “empate técnico”, es posible adelantar algunas ideas intuitivas al respecto analizando posibles escenarios de traslape y no traslape de los intervalos de estimación para los dos candidatos punteros de una elección.

Considérese primero un escenario en el que existe un traslape de los intervalos estimados para los dos candidatos punteros, ver Cuadro 1. En tal caso por un traslape de tan solo una centésima de punto porcentual (0.01 %) y existiendo una distancia entre las estimaciones puntuales de 0.69 % se declararía un “empate técnico”.

Candidato	intervalo estimado (en %)	estimación puntual (en %)	margen de error (en %)
A	[35.75 , 36.45]	36.10	0.35
B	[35.06 , 35.76]	35.41	0.35

Cuadro 1: Ejemplo de “empate técnico” por existir traslape de intervalos.

Ahora considérese un escenario en el que no existe un traslape de los intervalos estimados, ver Cuadro 2. En este caso, con una distancia entre las estimaciones puntuales de 0.71 % se declararía una “tendencia favorable” al candidato A, a pesar de que la diferencia entre las estimaciones puntuales es tan solo mayor en 2 centésimas de punto porcentual respecto al caso de “empate técnico” cuando, como se analizará en la siguiente sección, la probabilidad de triunfo del candidato A sobre el candidato B es prácticamente la misma con o sin un “pequeño” traslape de intervalos.

El uso injustificado de la expresión “empate técnico” ya fue en alguna ocasión señalado, por ejemplo por Campos⁴ y Penna (2004):

“Si nos apegamos a la teoría estadística, no existe una definición –por lo menos al día en que se escribe este artículo, octubre de 2004– de lo que es un «empate técnico». En México el término «empate técnico» hizo su aparición por primera vez en la televisión nacional en una encuesta de salida llevada a cabo en febrero de 1999, la jornada electoral resultó muy competida, pero un

³Aunque es muy poco probable, no sería imposible que ocurriera (por redondeo, por ejemplo) que $b_2 = a_1$ en cuyo caso sería interesante saber qué dirían los partidarios de esta mala *praxis* estadística: ¿sería o no “empate técnico”?

⁴Act. Roy Campos, presidente de *Consulta Mitofsky*, empresa especializada en generar, analizar y presentar información para el diseño de estrategias, estimaciones de proyección y evaluación de desempeño en México, Estados Unidos y Centroamérica. Fuente: www.consulta.mx [consultado el 13-Ene-2018]

Candidato	intervalo estimado (en %)	estimación puntual (en %)	margen de error (en %)
A	[35.75 , 36.45]	36.10	0.35
B	[35.04 , 35.74]	35.39	0.35

Cuadro 2: Ejemplo de “tendencia favorable” al candidato A por no existir traslape de intervalos.

medio de comunicación a las 18:00 hrs., con un sentido más periodístico que técnico, se atrevió a declarar ganador para posteriormente conforme transcurría la tarde modificar su anuncio y salir a declarar «empate técnico». Finalmente el triunfo fue para un partido distinto al que se había declarado.

[...] El uso de «empate técnico» parece ocultar al culpable de no poder dar resultados, el método. Los que lo usan parecen decir: «la elección está muy cerrada» cuando eso no es cierto siempre. Algunos incluso simplemente revisan el diseño muestral, ven que en la metodología dice «5 por ciento de error» y de ahí cualquier distancia menor entre ganador y segundo lugar lo consideran empate. Ese es un error. Imagine simplemente una encuesta que diga que tiene 5 por ciento de error teórico y resulte en una distancia de 4 puntos entre primer y segundo lugar, alguien podrá pensar que es empate porque puede resultar en un ganador distinto, pero resulta que también podrá resultar en que la ventaja real fuera de 9 puntos, lo cual no refleja una contienda cerrada.”

El uso de la expresión “empate técnico” persiste por lo menos hasta el año en que se escribe el presente artículo, como ejemplo basta citar, en el contexto de la elección presidencial de México en el año 2018, la nota periodística de la Figura 1.



Figura 1: Fuente: Periódico *El Financiero*, www.elfinanciero.com.mx consultado el 13-Ene-2018.

Más aún, hasta autoridades electorales llegan a utilizar la expresión “empate técnico” y la difunden en información dirigida a los electores, como es el caso del *Instituto Electoral de Coahuila* respecto a la elección

de gobernador en el año 2017, que en su página de internet publicó lo que se muestra en la Figura 2. En la siguiente sección se aborda con rigor matemático que el empleo de la expresión “empate técnico” no tiene sustento probabilístico y por tanto no debiera utilizarse en inferencias estadísticas derivadas de encuestas y conteos rápidos electorales.



Figura 2: Fuente: www.iec.org.mx/v1/index.php/conteo-rapido, consultado el 12-Jun-2017.

3. Contraejemplos

Considérese una elección en la que hay más de dos candidatos contendientes, y que es de interés calcular la probabilidad de triunfo entre los dos candidatos punteros. Las proporciones de votos de los dos candidatos punteros se representarán mediante las *variables aleatorias* X e Y mientras que en una tercera variable aleatoria Z se agregará la proporción restante de la votación emitida (otros candidatos registrados, votos anulados y votos por candidatos no registrados), de modo que debe cumplirse la condición:

$$X + Y + Z = 1, \quad (4)$$

esto es, aunque antes del recuento total de votos las proporciones obtenidas mediante X, Y y Z son desconocidas, sea cual sea el resultado, su suma debe ser igual a 1 (es decir, equivalente al 100% de la votación emitida). De (4) se tiene que $Z = 1 - X - Y$ y por tanto una vez conocidos los valores para el vector aleatorio (X, Y) el valor de Z queda perfectamente determinado. Lo anterior implica que basta con tener un modelo probabilístico para el vector aleatorio (X, Y) y con ello sería suficiente para realizar cálculos de probabilidades para Z también.

Como la proporción de votos a obtener por cada candidato es cualquier valor en el intervalo $[0, 1]$ se considerará a (X, Y) como vector de variables aleatorias *continuas* sobre dicho intervalo (lo cual implica lo mismo para Z). Consecuencia de (4) se tiene también que $0 \leq X + Y \leq 1$ y por tanto $0 \leq X \leq 1 - Y$, por lo que $\mathbb{P}[(X, Y) \in \mathcal{S}] = 1$, donde \mathcal{S} es el *soporte* de (X, Y) dado por el conjunto:

$$\mathcal{S} = \{(x, y) : 0 \leq y \leq 1, 0 \leq x \leq 1 - y\}, \quad (5)$$

como se ilustra en la Figura 3. Como (X, Y) representa las proporciones de votos de los dos candidatos punteros, es de interés calcular la probabilidad de triunfo de alguno de ellos, por ejemplo $\mathbb{P}(X > Y)$, misma que se calcula mediante:

$$\mathbb{P}(X > Y) = \mathbb{P}[(X, Y) \in \mathcal{S}_X], \quad \text{donde } \mathcal{S}_X = \{(x, y) : 0 \leq y < 1/2, y < x \leq 1 - y\} \subset \mathcal{S}, \quad (6)$$

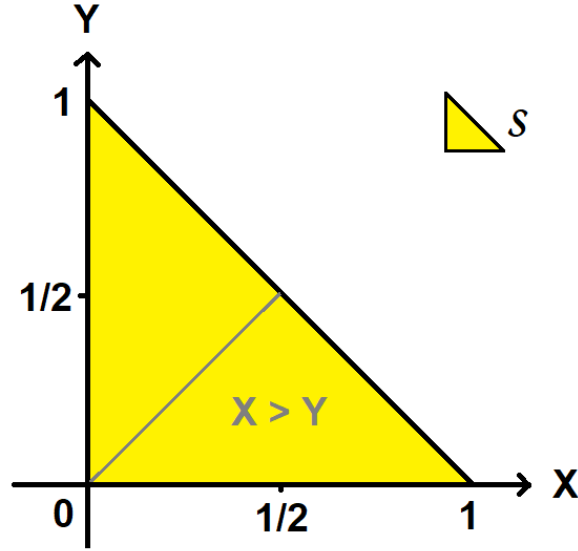


Figura 3: Soporte \mathcal{S} del vector aleatorio (X, Y) y la región donde $X > Y$.

ver Figura 3. Toda la información para hacer cálculo de probabilidades respecto al vector aleatorio (X, Y) se encuentra en su función de distribución conjunta de probabilidades $F_{X,Y}(x, y) = \mathbb{P}(X \leq x, Y \leq y)$, de donde se deducen además la funciones de distribución marginal (o individual) de las variables aleatorias X e Y , esto es $F_X(x) = \mathbb{P}(X \leq x) = F_{X,Y}(x, +\infty)$ y $F_Y(y) = \mathbb{P}(Y \leq y) = F_{X,Y}(+\infty, y)$. Como consecuencia del *Teorema de Sklar* (1959) se tiene en este caso particular que existe una relación funcional única entre la función de distribución conjunta $F_{X,Y}$ y las funciones de distribución marginales F_X y F_Y de la forma siguiente:

$$F_{X,Y}(x, y) = \mathbf{C}(F_X(x), F_Y(y)), \quad (x, y) \in \mathbb{R}^2, \quad (7)$$

donde $\mathbf{C} : [0, 1]^2 \rightarrow [0, 1]$ se denomina *función cópula* asociada al vector aleatorio (X, Y) . Como las funciones de distribución marginales F_X y F_Y sólo explican el comportamiento probabilístico individual de las variables aleatorias X e Y **por separado**, entonces toda la información acerca de la *dependencia probabilística* entre dichas variables aleatorias se encuentra justamente en \mathbf{C} . Así, la función cópula que representa ausencia de dependencia (es decir, independencia) entre X e Y es $\mathbf{C}(u, v) = \mathbf{\Pi}(u, v) = uv$, ya que es conocido resultado de la teoría de la probabilidad que X e Y son independientes si y sólo si $F_{X,Y}(x, y) = F_X(x)F_Y(y) = \mathbf{\Pi}(F_X(x), F_Y(y))$.

También, como consecuencia de las *Cotas de Fréchet* (1951) y *Hoeffding*(1940) para funciones de distribución conjunta bivariadas, se tiene que:

$$\mathbf{W}(F_X(x), F_Y(y)) \leq F_{X,Y}(x, y) \leq \mathbf{M}(F_X(x), F_Y(y)), \quad (8)$$

con las funciones cópula $\mathbf{W}(u, v) = \max\{u + v - 1, 0\}$ y $\mathbf{M}(u, v) = \min\{u, v\}$. Según se demuestra en Nelsen (2006), para un vector de variables aleatorias continuas (X, Y) se tiene que su función cópula $\mathbf{C} = \mathbf{M}$ si y sólo si Y es función estrictamente creciente de X casi seguramente (en sentido probabilístico), y que $\mathbf{C} = \mathbf{W}$ si y sólo si Y es función estrictamente decreciente de X casi seguramente (en sentido probabilístico).

Es inmediato verificar que para un vector de variables aleatorias continuas (X, Y) con soporte en \mathcal{S} (ver Figura 3) **NO** es posible la independencia entre dichas variables ya que de serlo debería cumplirse para todo $0 < x < 1$ que $\mathbb{P}(Y > x) = \mathbb{P}(Y > x | X = x)$ y claramente $\mathbb{P}(Y > x) > 0$ mientras que la probabilidad $\mathbb{P}(Y > x | X = x) = 0$ como consecuencia del soporte \mathcal{S} .

¿Será posible que un vector aleatorio de variables aleatorias continuas (X, Y) con soporte en \mathcal{S} alcance (o se acerque mucho a) las cotas de Fréchet-Hoeffding, es decir que tenga por función cópula $\mathbf{C} = \mathbf{W}$ o bien $\mathbf{C} = \mathbf{M}$? La respuesta es en el sentido afirmativo: basta con que, por ejemplo, X tenga una distribución de probabilidad continua uniforme sobre el intervalo $[0, 1]$ y definir la variable aleatoria $Y = g_\delta(X)$ donde la función $g_\delta : [0, 1] \rightarrow [0, 1 - \delta]$ con parámetro $0 < \delta < 1$ está dada por:

$$\begin{aligned} g_\delta(x) &= g_1(x)\mathbf{1}_{\{0 \leq x \leq \delta\}} + g_2(x)\mathbf{1}_{\{\delta < x \leq 1\}} \\ &= \frac{1 - \delta}{\delta} x \mathbf{1}_{\{0 \leq x \leq \delta\}} + (1 - x) \mathbf{1}_{\{\delta < x \leq 1\}}. \end{aligned} \quad (9)$$

Es relativamente sencillo demostrar⁵ que la función de distribución de probabilidad marginal para Y resulta ser en este caso continua uniforme también pero sobre el intervalo $[0, 1 - \delta]$ y que la función cópula correspondiente a (X, Y) en este caso resulta ser una familia paramétrica $\{\mathbf{C}_\delta(u, v) : 0 < \delta < 1\}$ como en el ejemplo 3.3 en Nelsen (2006) donde $\lim_{\delta \rightarrow 0^+} \mathbf{C}_\delta = \mathbf{W}$ y $\lim_{\delta \rightarrow 1^-} \mathbf{C}_\delta = \mathbf{M}$. Por lo tanto, se analizarán los casos extremos de dependencia para un vector de variables aleatorias continuas (X, Y) con soporte en \mathcal{S} .

Contraejemplo 1

Es posible tener $\mathbf{C} = \mathbf{W}$ si Y es función estrictamente decreciente de X . Definiendo $Y = 1 - X$ se cumple con ello y además dicha relación funcional es posible dentro de \mathcal{S} (ver Figura 3), que de hecho coincide con parte de la frontera de \mathcal{S} que une los puntos $(0, 1)$ y $(1, 0)$. En este caso, la probabilidad de que X triunfe sobre Y estaría dada por:

$$\mathbb{P}(X > Y) = \mathbb{P}(X > 1 - X) = \mathbb{P}(X > 1/2) = 1 - F_X(1/2), \quad (10)$$

$$= \mathbb{P}(1 - Y > Y) = \mathbb{P}(Y < 1/2) = F_Y(1/2), \quad (11)$$

donde

$$F_Y(y) = \mathbb{P}(Y \leq y) = \mathbb{P}(1 - X \leq y) = \mathbb{P}(X \geq 1 - y) = 1 - F_X(1 - y). \quad (12)$$

De (10) se desprende que, para cualquier valor $0 < \gamma < 1$, la probabilidad $\mathbb{P}(X > Y) = 1 - \gamma$ si y sólo si $F_X(1/2) = \gamma$, y de (11) se desprende que $\mathbb{P}(X > Y) = 1 - \gamma$ si y sólo si $F_Y(1/2) = 1 - \gamma$. Esto implicaría que $[1/2, 1]$ sea un intervalo de probabilidad $100(1 - \gamma)\%$ para X y que $[0, 1/2]$ sea un intervalo de probabilidad $100(1 - \gamma)\%$ para Y , esto es:

$$F_X(1) - F_X(1/2) = 1 - \gamma = F_Y(1/2) - F_Y(0). \quad (13)$$

Como $F_X(1/2) = \gamma$, si F_X es estrictamente creciente entonces por continuidad de F_X existe un valor $0 < x_{\gamma/2} < \frac{1}{2}$ tal que $F_X(x_{\gamma/2}) = \gamma/2$ y análogamente existe un valor $\frac{1}{2} < x_{1-\gamma/2} < 1$ tal que $F_X(x_{1-\gamma/2}) = 1 - \gamma/2$, y por tanto:

$$F_X(x_{1-\gamma/2}) - F_X(x_{\gamma/2}) = (1 - \gamma/2) - \gamma/2 = 1 - \gamma, \quad \text{con } 0 < x_{\gamma/2} < 1/2 < x_{1-\gamma/2} < 1. \quad (14)$$

Por argumentos análogos, también es posible:

$$F_Y(y_{1-\gamma/2}) - F_Y(y_{\gamma/2}) = (1 - \gamma/2) - \gamma/2 = 1 - \gamma, \quad \text{con } 0 < y_{\gamma/2} < 1/2 < y_{1-\gamma/2} < x_{1-\gamma/2}, \quad (15)$$

por lo que de (14) y (15) se concluye que es posible construir para X un intervalo $[x_{\gamma/2}, x_{1-\gamma/2}]$ de probabilidad $100(1 - \gamma)\%$ y para Y un intervalo $[y_{\gamma/2}, y_{1-\gamma/2}]$ también de probabilidad $100(1 - \gamma)\%$ que tengan intersección no vacía $[x_{\gamma/2}, y_{1-\gamma/2}]$ y con probabilidad de triunfo para X sobre Y igual a $\mathbb{P}(X > Y) = 1 - \gamma$. Así, por ejemplo, es posible tomar un valor tan pequeño como $\gamma = 0.0001$ y con ello X tendría una probabilidad de triunfo sobre Y de 99.99% a pesar de existir intersección de los intervalos individualmente calculados. \square

⁵Se omiten los detalles por no ser especialmente relevantes para el objetivo del presente artículo.

Contraejemplo 2

Para que la función cópula \mathbf{C} correspondiente a (X, Y) fuese igual a \mathbf{M} se requeriría que $Y = \varphi(X)$ casi seguramente, donde φ es una función estrictamente creciente, lo cual no es posible sobre \mathcal{S} ya que necesariamente existiría un valor $0 < x_0 < 1$ tal que $\varphi(x_0) > 1 - x_0$, es decir Y reportaría valores inadmisibles (fuera de \mathcal{S}). Pero es posible lograr que \mathbf{C} se aproxime tanto como se desee a \mathbf{M} mediante $Y = g_\delta(X)$ con g_δ definida como en (9), esto es:

$$\begin{aligned} Y = g_\delta(X) &= g_1(X)\mathbf{1}_{\{0 \leq X \leq \delta\}} + g_2(X)\mathbf{1}_{\{\delta < X \leq 1\}} \\ &= \frac{1-\delta}{\delta} X \mathbf{1}_{\{0 \leq X \leq \delta\}} + (1-X)\mathbf{1}_{\{\delta < X \leq 1\}} \end{aligned} \quad (16)$$

con parámetro $0 < \delta < 1$. El soporte de Y sería el intervalo $[0, 1 - \delta]$ y su función de distribución para $0 \leq y \leq 1 - \delta$ sería:

$$\begin{aligned} F_Y(y) &= \mathbb{P}(Y \leq y) = \mathbb{P}(X \leq g_1^{-1}(y)) + \mathbb{P}(X \geq g_2^{-1}(y)) \\ &= F_X(\delta y / (1 - \delta)) + 1 - F_X(1 - y). \end{aligned} \quad (17)$$

Con parámetro $\delta \geq 1/2$ la poligonal $Y = g_\delta(X)$ quedaría totalmente contenida en S_X , ver (6), y en tal caso $\mathbb{P}(X > Y) = 1$. Si se desea $\mathbb{P}(X > Y) = 1 - \gamma$ para algún valor dado $0 < \gamma < 1$ sería entonces necesario utilizar algún valor $0 < \delta < 1/2$, ver Figura 4, en cuyo caso se tendría que $1 - \gamma = \mathbb{P}(X > Y) = \mathbb{P}(X > 1/2) = 1 - F_X(1/2)$ y por lo tanto $F_X(1/2) = \gamma$.

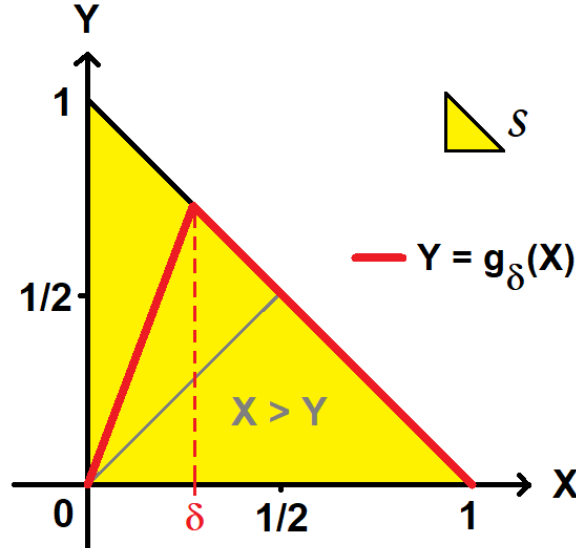


Figura 4: En color rojo gráfica de $Y = g_\delta(X)$.

Por otro lado, aplicando (17) se obtiene que:

$$F_Y(1/2) = F_X(\delta/2(1 - \delta)) + 1 - F_X(1 - 1/2) = F_X(\delta/2(1 - \delta)) + 1 - \gamma = 1 - \gamma^* > 1 - \gamma, \quad (18)$$

y aplicando argumentos análogos a los del Contraejemplo 1 nuevamente es posible construir para X un intervalo $[x_{\gamma/2}, x_{1-\gamma/2}]$ de probabilidad $100(1 - \gamma)\%$ y para Y un intervalo $[y_{\gamma^*/2}, y_{1-\gamma^*/2}]$ de probabilidad $100(1 - \gamma^*)\% > 100(1 - \gamma)\%$ que tengan intersección no vacía $[x_{\gamma/2}, y_{1-\gamma^*/2}]$ y con probabilidad de triunfo para X sobre Y igual a $\mathbb{P}(X > Y) = 1 - \gamma$. Así, por ejemplo, es posible tomar un valor tan pequeño como $\gamma = 0.0001$ y se tendría nuevamente que X tendría una probabilidad de triunfo sobre Y de 99.99% a pesar de existir intersección de los intervalos individualmente calculados. \square

Contraejemplo 3

En los dos contraejemplos anteriores se analizaron los casos extremos de dependencia que corresponden a las cotas inferior y superior de Fréchet-Hoeffding. Ahora se analizarán casos intermedios de dependencia para un vector de variables aleatorias continuas (X, Y) con soporte contenido en \mathcal{S} . Considérese el caso de una elección en la que ninguno de los dos candidatos punteros alcanzaría mayoría absoluta de votos, esto es que $\mathbb{P}((X, Y) \in [0, 1/2]^2) = 1$. En este caso la probabilidad de triunfo de X sobre Y estaría dada por:

$$\mathbb{P}(X > Y) = \mathbb{P}((X, Y) \in \mathcal{S}_X \cap [0, 1/2]^2) = \mathbb{P}(0 \leq X \leq 1/2, 0 \leq Y < X). \quad (19)$$

Si B es una variable aleatoria continua con distribución de probabilidad *Beta* con parámetros $\alpha > 0$ y $\beta > 0$, definiendo $X = B/2$ se logra que $\mathbb{P}(0 \leq X \leq 1/2) = 1$, y la relación entre la función de distribución de X y la de B estaría dada por

$$F_X(x | \alpha, \beta) = \mathbb{P}(X \leq x) = \mathbb{P}(B \leq 2x) = F_B(2x | \alpha, \beta). \quad (20)$$

De forma análoga a los dos contraejemplos anteriores, dados valores $0 < \gamma < 1$ y $0 < 2\varepsilon < x_{1-\gamma/2} < 1/2$ bastaría encontrar valores $\alpha > 1$ y $\beta > 1$ ⁶ tales que:

$$F_X(x_{1-\gamma/2} | \alpha, \beta) = 1 - \gamma/2 \quad \text{y} \quad F_X(x_{\gamma/2} | \alpha, \beta) = \gamma/2, \quad (21)$$

donde $x_{\gamma/2} = x_{1-\gamma/2} - 2\varepsilon$. Lo anterior nos arroja un intervalo $[x_{\gamma/2}, x_{1-\gamma/2}]$ de longitud 2ε (esto es con margen de error ε) y de probabilidad $100(1 - \gamma)\%$ para X . A partir de este intervalo se puede construir uno similar para Y que tenga un traslape deseado $0 < \tau < 2\varepsilon$: tómesese $y_{1-\gamma/2} = x_{\gamma/2} + \tau$ y aplíquese el mismo procedimiento (21), con lo que se obtendrá un intervalo $[y_{\gamma/2}, y_{1-\gamma/2}]$ de longitud 2ε (esto es con margen de error ε) y de probabilidad $100(1 - \gamma)\%$ para Y que además tiene un traslape de longitud τ con el intervalo obtenido para X .

Los dos intervalos con traslape para X e Y se obtienen únicamente a partir de las distribuciones de probabilidad marginales de cada variable aleatoria, sin considerar aún la posible dependencia entre ellas, misma que se procederá a agregar ahora. Si $F_X(x | \alpha_1, \beta_1)$ y $F_Y(y | \alpha_2, \beta_2)$ son las funciones de distribución marginales obtenidas para lograr los intervalos traslapados anteriores, entonces por Teorema de Sklar (1959) la función de distribución conjunta de (X, Y) es de la forma:

$$F_{X,Y}(x, y) = \mathbf{C}(F_X(x | \alpha_1, \beta_1), F_Y(y | \alpha_2, \beta_2)) \quad (22)$$

donde \mathbf{C} es la función cópula que contiene toda la información sobre la dependencia entre las variables aleatorias X e Y . Para el propósito del presente contraejemplo se utilizará (entre muchas opciones disponibles) una función cópula perteneciente a la familia Frank (1979) por ser ésta una familia paramétrica $\{\mathbf{C}_\delta : \delta \in]-\infty, +\infty[\setminus \{0\}\}$ que abarca desde dependencias que se aproximan tanto como se desee a las cotas extremas de dependencia de Fréchet-Hoeffding ($\lim_{\delta \rightarrow -\infty} \mathbf{C}_\delta = \mathbf{W}$ y $\lim_{\delta \rightarrow +\infty} \mathbf{C}_\delta = \mathbf{M}$) hasta dependencias que pueden aproximarse a la independencia tanto como se desee ($\lim_{\delta \rightarrow 0} \mathbf{C}_\delta = \mathbf{\Pi}$). Bajo esta familia de cópulas, a mayor valor positivo del parámetro δ se obtiene una mayor dependencia positiva, a menor valor negativo se obtiene mayor dependencia negativa, y conforme el parámetro se acerque a cero se acercará más a la independencia. Una vez especificado (22) se calcula la probabilidad de triunfo de X sobre Y mediante (19).

La solución del sistema de ecuaciones (21) tiene que aproximarse numéricamente, y el cálculo de la probabilidad de triunfo (19) se aproxima vía simulación. En este caso se hizo por medio del lenguaje de programación R (2017) y el paquete *copula* de Hofert *et al.* (2017). El código de programación se anexa en el Apéndice, así como un enlace para descarga del mismo, para fines de reproducibilidad de los cálculos.

⁶Las restricciones $\alpha > 1$ y $\beta > 1$ garantizan que la función de densidad de probabilidades *Beta* tenga un máximo y forma “acampanada”.

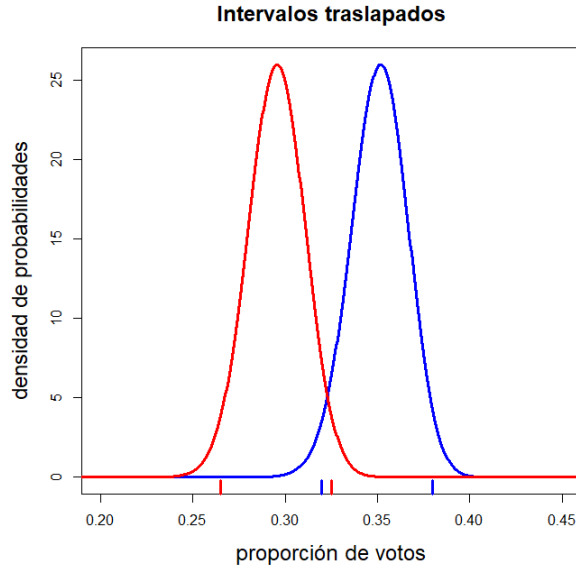


Figura 5: Funciones de densidad de probabilidad marginal para X (azul) e Y (rojo) junto con intervalos de probabilidad 95 %, margen de error de 3 % y traslape de 0.5 %.

Se utilizaron valores $\gamma = 0.05$, $x_{1-\gamma/2} = 0.38$, $\tau = 0.005$ y $\varepsilon = 0.03$. Lo anterior genera intervalos de probabilidad 95 % con margen de error de 3 % y traslape de intervalos de 0.5 % como sigue:

$$Y : [26.5 \% , 32.5 \%] \quad X : [32.0 \% , 38.0 \%], \quad (23)$$

con funciones de densidad de probabilidad marginal como se ilustra en la Figura 5.

A las funciones de densidad de probabilidad marginal obtenidas, se agregó la función cópula Frank con distintos valores de *correlación de Spearman*⁷ y se procedió a estimar vía simulación la probabilidad de triunfo de X sobre Y , ver Cuadro 3. El resultado de la simulación para el caso particular donde la correlación de Spearman es igual a -0.5 se ilustra en la Figura 6.

Correlación de Spearman	Probabilidad de triunfo de X (en %)
-0.9	97.13
-0.5	98.54
-0.2	99.14
0.0	99.44
+0.3	99.77
+0.6	99.95
+0.9	99.99

Cuadro 3: Probabilidad de triunfo de X sobre Y bajo distintos valores de correlación de Spearman, con intervalos de probabilidad 95 %, trasladados en 0.5 % y margen de error de 3 %.

⁷La correlación de Spearman es un valor en el intervalo $[-1, +1]$ cuya interpretación es muy similar a la correlación lineal o de Pearson, con la ventaja de que solo depende de la cópula subyacente, no se contamina por el comportamiento de las distribuciones marginales y no depende de la existencia de momentos. Ver Embrechts *et al.*(1999).

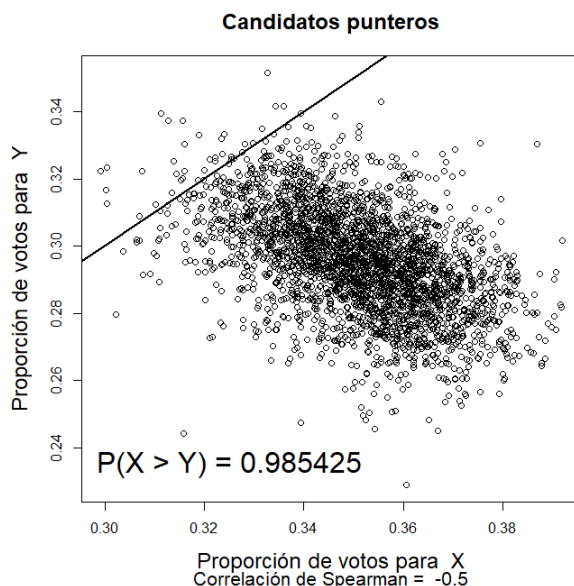


Figura 6: Parte de las simulaciones de (X, Y) con cópula Frank y correlación de Spearman igual a -0.5 . La parte inferior a la línea recta corresponde a escenarios donde $X > Y$.

Como puede apreciarse en el Cuadro 3, a pesar de existir un traslape en los intervalos individuales para los candidatos punteros, bajo distintos niveles de dependencia (negativos, independencia, positivos) la probabilidad de triunfo de un candidato sobre el otro es siempre superior al nivel 95 % con el que fueron construidos los intervalos.

Se verá ahora que la probabilidad de triunfo puede resultar casi la misma con un mínimo traslape de intervalos que sin él. Basta utilizar los valores $\tau_1 = +0.0001$ (traslape) y $\tau_2 = -0.0001$ (no traslape) con los demás valores igual que en lo anterior. Los resultados se resumen en el Cuadro 4 y deja claro que un mínimo traslape de intervalos versus una mínima separación no cambia significativamente la probabilidad de triunfo de un candidato sobre otro. \square

Candidato Y	Candidato X	¿Traslape?	Probabilidad de que triunfe X (en %)
[26.01 , 32.01]	[32.00 , 38.00]	Sí	99.19
[25.99 , 31.99]	[32.00 , 38.00]	No	99.21

Cuadro 4: Probabilidad de triunfo de X sobre Y con correlación de Spearman -0.5 , con intervalos de probabilidad 95 %, margen de error de 3 %, traslapados en un caso y en otro no.

En resumen, los tres contraejemplos anteriores demuestran que es posible tener elevadas probabilidades de triunfo de un candidato puntero a pesar de que exista algún traslape de los intervalos calculados por separado para los dos candidatos punteros, y que inclusive la probabilidad de triunfo puede resultar esencialmente la misma con un mínimo traslape de intervalos que sin él.

4. La elección presidencial de México en 2006

Se analiza este caso por tratarse de un ejemplo en el que, derivado de un conteo rápido a cargo de una autoridad electoral ésta decide, con asesoría de especialistas en estadística, no emitir una conclusión al

respecto la noche del día de la elección. De acuerdo con Eslava (2006), quien formó parte del **Comité Técnico Asesor** para la **Realización de Conteos Rápidos** (CTARCR) en la elección presidencial de México el 2 de julio del año 2006:

“A pesar de que se obtuvieron estimaciones puntuales de los porcentajes, dos de los intervalos de confiabilidad asociados no se separaron por más de 0.006, margen acordado para poder proporcionar los resultados la misma noche. Por esta razón no se difundieron las cifras estimadas, sino solamente el aviso de que estadísticamente no era posible distinguir con un alto grado de confiabilidad a un candidato ganador [...] El conteo rápido, por ser de carácter institucional y cuyos resultados serían la base de un comunicado difundido a la ciudadanía la misma noche de la elección, estuvo sujeto a acuerdos previos y a restricciones como guardar la confidencialidad de la muestra; realizar estimaciones por intervalos de cuando menos una confiabilidad de 95%; que para identificar un partido o coalición ganadora, los intervalos asociados a los porcentajes estimados de votos para los partidos mayoritarios deberán distar en al menos 0.6% (0.006)...”

En el *Informe sobre las actividades del Comité Técnico Asesor para la Realización de Conteos Rápidos* (CTARCR) del entonces *Instituto Federal Electoral* (IFE, 2006, 147 páginas) se incluyen tres metodologías estadísticas para la estimación por intervalos (denominados métodos *Robusto*, *Clásico* y *Bayesiano*) así como la técnica de muestreo utilizada, entre otras cuestiones. Sin embargo, no aparece metodología o justificación estadística alguna para establecer como condición para identificar a un ganador que la distancia entre intervalos punteros fuese al menos de 0.6%. En la pág. 24 del citado informe del CTARCR simplemente se menciona respecto al *Proceso de Estimación* lo siguiente:

*“Para el proceso de estimación de las proporciones de votos por partido y coalición, se especificó que se tendrían como **reglas básicas** las siguientes:*

- 1. Los métodos de estimación utilizados deben llevar a conclusiones coherentes y comunes.*
- 2. Realizar estimaciones por intervalos de cuando menos una confiabilidad del 95%.*
- 3. Para poder identificar un ganador, los intervalos de las primeras dos fuerzas contendientes deberán distar en al menos 0.6%.”*

Estas “reglas básicas” que se adoptaron para la estimación del conteo rápido de dicha elección presentan diversos problemas. La Regla 1 es inespecífica porque ¿cómo decidir si las conclusiones son “coherentes” y en qué sentido? ¿A qué se refiere con “conclusiones comunes”? El informe no lo aclara. La Regla 2 no especifica el nivel de confiabilidad de las estimaciones, solo da un cota inferior para ello al decir “cuando menos una confiabilidad del 95%”, lo cual dejó la puerta abierta a la utilización de distintos y arbitrarios niveles de confiabilidad por encima del 95%, pudiéndose llegar al absurdo de utilizar una confiabilidad del 100% y con ello entregar como intervalo de estimación [0%, 100%]. De hecho el informe tampoco aclara cuáles fueron los niveles de confiabilidad finalmente utilizados con cada uno de los tres métodos de estimación, ni si fue el mismo en los tres casos. De la Regla 3 surge inmediatamente una pregunta: ¿A qué se refiere con que los intervalos estimados para los dos punteros “distan” en al menos 0.6%? Tampoco se incluye en dicho informe la fórmula que se utilizó para calcular “distancia entre intervalos”, mucho menos un fundamento estadístico para ello ni para fijar esa “distancia” mínima en 0.6%, simplemente fue un “acuerdo” del CTARCR cuya fundamentación no fue documentada en el informe. Por supuesto que matemáticamente es posible definir alguna forma de calcular distancia entre intervalos (por ejemplo, utilizando la distancia de Hausdorff) pero para que esto pueda aplicarse en un procedimiento de inferencia estadística requeriría al menos una justificación técnica, que de haberla no fue documentada ni revelada.

Los intervalos estimados por el CTARCR la noche del 2 de julio de 2006 para los dos candidatos punteros (Felipe Calderón Hinojosa del PAN⁸ y Andrés Manuel López Obrador de la CPBT⁹), junto con el resultado

⁸Las siglas PAN corresponden a *Partido Acción Nacional*.

⁹Las siglas CPBT corresponden a *Coalición Por el Bien de Todos*.

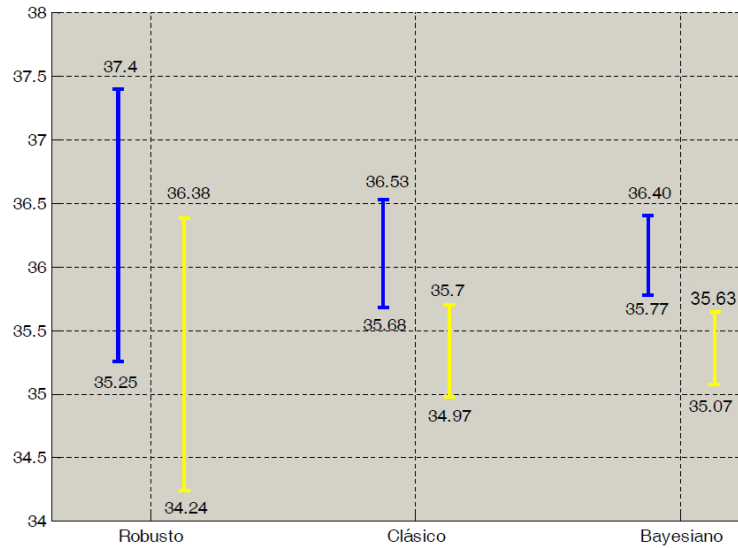


Figura 7: Intervalos estimados para Felipe Calderón Hinojosa (FCH) en azul, y para Andrés Manuel López Obrador (AMLO) en amarillo bajo las metodologías denominadas Robusta, Clásica y Bayesiana. Fuente: Informe del CTARCR al Instituto Federal Electoral (2006).

del PREP¹⁰ al cierre del mismo el 3 de julio¹¹ y el Cómputo Distrital¹² del 5 de julio se presentan en el Cuadro 5, y una gráfica comparando dichos intervalos bajo los tres métodos utilizados (Robusto, Clásico y Bayesiano) se presenta en la Figura 7.

Método	AMLO	Longitud intervalo	FCH	Longitud intervalo
Robusto	[34.24, 36.38]	2.14	[35.25, 37.40]	2.15
Clásico	[34.97, 35.70]	0.73	[35.68, 36.53]	0.85
Bayesiano	[35.07, 35.63]	0.56	[35.77, 36.40]	0.63
PREP	35.34	–	36.38	–
Cómputo Distrital	35.31	–	35.89	–

Cuadro 5: Intervalos estimados la noche del 2 de julio de 2006 por los métodos estadísticos denominados por el CTARCR como Robusto, Clásico y Bayesiano, el resultado al cierre del PREP el 3 de julio, y el resultado del Cómputo Distrital el 5 de julio, para los dos candidatos punteros: Felipe Calderón Hinojosa (FCH) y Andrés Manuel López Obrador (AMLO).

La *distancia de Hausdorff*, véase por ejemplo Munkres (2002), para el caso de intervalos cerrados y acotados en el espacio métrico de los números reales (\mathbb{R}) bajo la métrica usual en \mathbb{R} , resulta ser para un par de intervalos dados $I_1 = [a_1, b_1]$ e $I_2 = [a_2, b_2]$ como sigue:

$$d_H(I_1, I_2) = \max\{|a_1 - a_2|, |b_1 - b_2|\}. \quad (24)$$

En el Cuadro 6 se calcularon las distancias de Hausdorff (en puntos porcentuales) para los pares de intervalos estimados para los candidatos punteros bajo los tres métodos utilizados para el conteo rápido de 2006 (ver

¹⁰PREP son las siglas del *Programa de Resultados Electorales Preliminares* que es un mecanismo de información que, al término de la jornada electoral, permite consultar, a través de internet, los resultados preliminares de las elecciones conforme los va recibiendo la autoridad electoral.

¹¹Fuente: <http://prep2006.ife.org.mx/PREP2006/prep2006.html> consultada el 17 de enero de 2018.

¹²Fuente: <http://portalanterior.ine.mx/documentos/Estadisticas2006/presidente/nac.html> consultada el 17 de enero de 2018.

Cuadro 5), y se agregó, como simple referencia, la diferencia absoluta entre los puntos medios de dichos intervalos. Como se puede apreciar, bajo las tres metodologías estadísticas aplicadas, las distancias entre los pares de intervalos estimados para los dos candidatos punteros son en todos los casos superiores a 0.6 % y, por tanto, de acuerdo con la Regla 3 establecida por el propio comité técnico asesor del conteo rápido (CTARCR), sí estuvieron en condiciones de identificar a un ganador de acuerdo con sus propias reglas autoimpuestas.

Método	Distancia de Hausdorff	Diferencia entre puntos medios de intervalos
Robusto	1.010	1.015
Clásico	0.710	0.770
Bayesiano	0.700	0.735

Cuadro 6: Distancias de Hausdorff y entre puntos medios de los intervalos (en puntos porcentuales) estimados la noche del 2 de julio de 2006 por los métodos estadísticos denominados por el CTARCR como Robusto, Clásico y Bayesiano, para los dos candidatos punteros: Felipe Calderón Hinojosa (FCH) y Andrés Manuel López Obrador (AMLO).

Respecto a la Regla 3, Aparicio (2009) interpreta la “distancia” de 0.6 % como *margen de error* al mencionar:

“[...] el margen de error del conteo rápido era de 0.6 por ciento pero como el resultado fue aún más cerrado (0.58 %) no era posible declarar un ganador con los grados de confianza estadística comúnmente aceptados y que el mismo IFE había anunciado previamente [...] Si bien el conteo rápido levantado en 7636 casillas la noche del 2 de julio no apuntaba a un claro ganador (es decir, fuera de los márgenes de error del instrumento), éste sí sugería una elección con un margen menor a 0.6 por ciento de los votos, al tiempo que daba a Felipe Calderón una mayor probabilidad de aventajar en el resultado final. Con este dato era claro que el resultado observado al cierre del PREP la noche del 3 de julio, y que daba un margen de 1.04 por ciento a favor de Calderón, tenía que reducirse al llegar al cómputo distrital –tal como ocurrió: el cómputo distrital arrojó un margen de sólo 0.58 por ciento, el cual validó la estimación inicial del conteo rápido.”

Consultando el informe entregado por el CTARCR al IFE (2006) en la página 8 se estableció lo siguiente:

*“[...] el objetivo fundamental es obtener un diseño y tamaño de muestra que permitan estimar con un error aceptablemente pequeño, del **0.5 %** ...”*

y luego en la página 9:

*“[...] el Comité evaluó el tamaño de muestra de 7500 casillas a la luz de los errores de estimación que arrojaría. Con ese tamaño de muestra se tiene un error de alrededor de **0.3 %** ...”*

De acuerdo con Eslava (2006), miembro de dicho CTARCR, con una muestra efectivamente recibida de 7236 casillas el error observado estimado fue de **0.42 %** para el caso del PAN (candidato Felipe Calderón Hinojosa) y de **0.36 %** para la CPBT (candidato Andrés Manuel López Obrador), por lo que tampoco resulta aceptable la interpretación del **0.6 %** de la Regla 3 como margen de error, tal cual se sugiere en Aparicio (2009).

Mendoza y Nieto-Barajas (2016) presentan un enfoque bayesiano para las estimaciones del conteo rápido de la elección presidencial de México de 2006 justamente, y es importante aclarar además que Mendoza también formó parte del comité técnico asesor para los conteos rápidos para dicha elección. El modelo bayesiano que publicaron, además de permitir las estimaciones por intervalo para las proporciones de votos que obtienen los candidatos, permite calcular la **probabilidad de triunfo**, y a las 10:15 p.m de la noche del día de la elección del 2 de julio de 2006 estimaron que la probabilidad de que el candidato del PAN (Felipe Calderón

Hinojosa) fuese ganador era de **¡99.94 %!** Cálculo que contrasta fuertemente con Eslava (2006) que concluyó que “estadísticamente no era posible distinguir con un alto grado de confiabilidad a un candidato ganador”. Desafortunadamente la probabilidad de triunfo no se comunicó la noche de la elección, el comité asesor del conteo rápido simplemente decidió que no podía distinguir un ganador con base en un “acuerdo previo” sobre una determinada y arbitraria distancia interválica que quién sabe cómo se calcula ni qué justificación probabilística o estadística tiene. En palabras de Mendoza y Nieto-Barajas:

*“Our Bayesian model produced disjoint 99 % intervals, for the two leading parties, whose limits were really close to each other but separated. This fact is relevant because, non expert readers might think that the risk of a false winner call was large. This was not true and the evidence is provided precisely by the 22:15 dispersion diagram (bottom right panel in Fig. 4), where the probability of PAN being the winner is 0.9994. In fact, **the marginal intervals could intersect and nonetheless the relevant information to call a winner is provided by the corresponding joint bivariate posterior distribution.**”*

Lo anterior coincide con lo discutido en la sección anterior respecto a calcular la probabilidad de triunfo y que el asunto de que los intervalos de estimación se intersecten o no debería quedar fuera de toda consideración porque no son probabilísticamente comparables, y porque en un momento dado la probabilidad de triunfo puede resultar elevada a pesar de existir traslape entre dichos intervalos. Como ya se mencionó, el informe que el CTARCR entregó al IFE (2006) no especificó cuáles fueron los niveles de confiabilidad finalmente utilizados con cada uno de los tres métodos de estimación, pero de Mendoza y Nieto-Barajas (2016) queda claro que al menos para el caso del método Bayesiano fue de 99 %. Con esto último fue posible realizar un análisis similar al del Contraejemplo 3 de la sección anterior (el código de programación se anexa en el Apéndice, así como un enlace para descarga del mismo, para fines de reproducibilidad) calculando bajo distintos niveles de dependencia tanto la probabilidad de triunfo de FCH (PAN) sobre AMLO (CPBT) como la probabilidad de que la diferencia entre ellos fuese menor a 0.6 %. Los resultados se resumen en el Cuadro 7, donde se aprecia que con probabilidades de triunfo muy elevadas en todos los casos, la probabilidad de que la diferencia fuese menor a 0.6 % podía llegar a niveles hasta de 27 % en un momento dado.

Correlación de Spearman	$\mathbb{P}(\text{FCH} > \text{AMLO})$ en %	$\mathbb{P}(\text{FCH} - \text{AMLO} < 0.6\%)$ en %
-0.9	99.94	27.44
-0.6	99.98	25.76
-0.3	99.99+	23.52
0.0	99.99+	20.43
+0.3	99.99+	15.97
+0.6	99.99+	9.18
+0.9	99.99+	0.42

Cuadro 7: Probabilidad de triunfo de FCH sobre AMLO y probabilidad de que la diferencia entre ambos fuese menor a 0.6 % bajo distintos niveles de dependencia (correlación de Spearman y cópula Normal) y los intervalos de probabilidad 99 % estimados bajo el método Bayesiano.

Mendoza y Nieto-Barajas (2016) no incluyeron en su trabajo el grado de dependencia entre los dos candidatos punteros, pero en la Figura 8 se compara la gráfica de los autores donde simularon la distribución conjunta a posteriori de los candidatos punteros con la que estimaron la probabilidad de triunfo de FCH sobre AMLO (que a la vista implica una dependencia negativa) versus lo obtenido en el Cuadro 7 con una correlación de Spearman igual a -0.6 con cópula Normal¹³ y los intervalos de probabilidad 99 % estimados bajo el método

¹³Se utilizó una cópula Normal (o Gaussiana) porque el método Bayesiano utilizado en Mendoza y Nieto-Barajas (2016) se apoya en una distribución multivariada Normal – Wishart invertida.

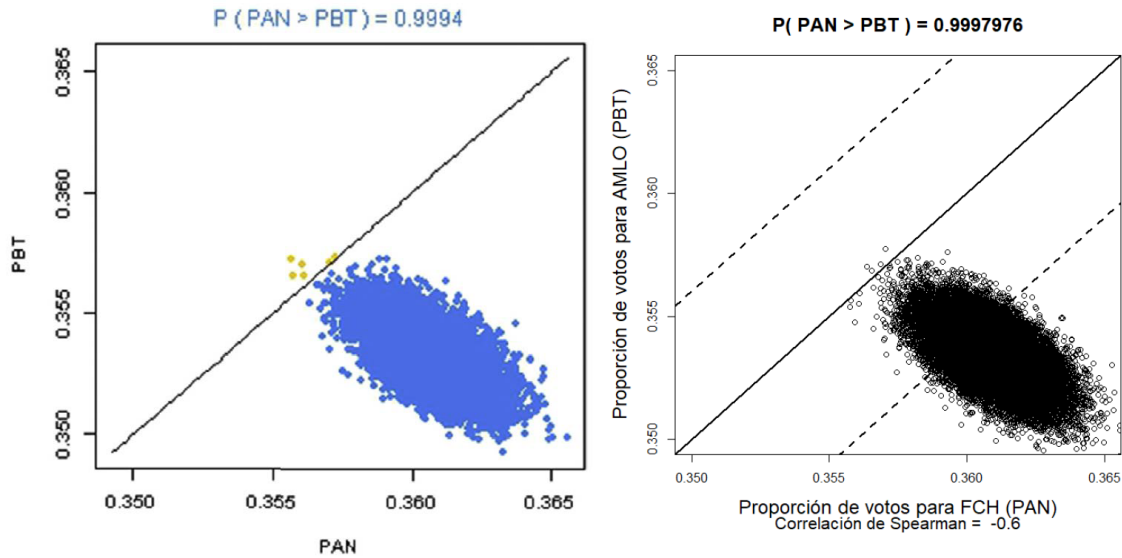


Figura 8: Izquierda: Simulaciones conjuntas a posteriori FCH/AMLO (PAN/PBT) en Mendoza y Nieto-Barajas (2016). Derecha: Simulaciones conjuntas con cópula Normal, correlación de Spearman de -0.6 y utilizando los intervalos de probabilidad 99 % estimados por Mendoza y Nieto-Barajas (2016).

Bayesiano. Esto nos da cierta idea de que aún con una probabilidad de triunfo de FCH sobre AMLO de casi 100 % la probabilidad de que la diferencia en porcentaje de votos entre ambos candidatos fuese menor a 0.6 % podía haber sido de aproximadamente 26 %. En las gráficas de la Figura 8, la parte inferior a la línea recta corresponde a escenarios donde FCH triunfa sobre AMLO, y la región encerrada entre las dos líneas punteadas corresponde al caso en que la diferencia en puntos porcentuales entre ambos candidatos punteros es menor a 0.6 %.

Si en lo anterior se repitieran los cálculos pero utilizando los intervalos estimados por el método Clásico (ver Cuadro 5) manteniendo cópula Normal con correlación de Spearman de -0.6 se obtendrían los resultados que se resumen en el Cuadro 8. Como puede apreciarse, la probabilidad de triunfo de FCH sobre AMLO es similarmente elevada con probabilidades no despreciables de que la diferencia entre los candidatos punteros fuese menor a 0.6 %. Como el informe del comité técnico asesor del conteo rápido no especificó el nivel de confianza utilizado para las estimaciones del método Clásico, se hizo el análisis con diversos niveles de confianza. Nótese que, a diferencia de los intervalos estimados por el método Bayesiano, los intervalos del método Clásico sí tienen traslape (ver Cuadro 5 y Figura 7), y a pesar de ello la probabilidad de triunfo de FCH (PAN) es muy similar al caso Bayesiano, al igual que la probabilidad de que la diferencia entre candidatos fuese menor a 0.6 %.

Confianza del intervalo en %	$\mathbb{P}(\text{FCH} > \text{AMLO})$ en %	$\mathbb{P}(\text{FCH} - \text{AMLO} < 0.6\%)$ en %
95.0	98.30	31.91
99.0	99.74	26.82
99.5	99.88	25.03
99.9	99.99+	17.53

Cuadro 8: Probabilidad de triunfo de FCH sobre AMLO y probabilidad de que la diferencia entre ambos fuese menor a 0.6 % con correlación de Spearman de -0.6, cópula Normal y los intervalos de probabilidad estimados bajo el método Clásico, suponiendo distintos niveles de confianza de dichos intervalos.

En congruencia con el nivel de confianza utilizado para decidir el tamaño de muestra, el nivel de confianza de los intervalos estimados debiera ser también del 95 %. En el caso de la elección presidencial de México en el año 2006, el informe final del comité técnico asesor para el conteo rápido (IFE, 2006) no especificó el nivel de confianza utilizado para los intervalos calculados bajo los tres métodos utilizados (denominados Robusto, Clásico y Bayesiano), pero de acuerdo a lo publicado al respecto por Mendoza y Nieto-Barajas (2016), al menos para el método Bayesiano fueron intervalos de probabilidad 99 %, ver Figura 9 (que corresponde a *Table 1* en Mendoza y Nieto-Barajas, 2016).

Table 1

Estimates of λ_j , $j=1,2,3$ and final results before refutations. Intervals are computed with 99% probability (confidence).

	PAN	APM	PBT
Final results	35.91	22.19	35.29
Bayesian	(35.73, 36.38)	(21.72, 22.22)	(35.05, 35.62)
Frequentist	(36.04, 36.19)	(21.91, 22.01)	(35.27, 35.39)

Fuente: Mendoza y Nieto-Barajas (2016), ver referencias.

Figura 9: *Table 1* en Mendoza y Nieto-Barajas (2016) con intervalos al mismo nivel de probabilidad (confianza) de 99 % para los métodos Bayesiano y Clásico (o Frecuentista).

Para comparar su método Bayesiano, Mendoza y Nieto-Barajas (2016) presentan los intervalos de confianza 99 % que corresponderían al método Clásico (o Frecuentista). Lo que es de notarse es que las longitudes de los intervalos del método Clásico (o Frecuentista) resultaron de 0.15 (PAN), 0.10 (APM) y 0.12 (PBT), longitudes mucho menores que las de los intervalos reportados por el CTARCR al IFE (2006) para el método Clásico (ver Figura 10) que fueron 0.85 (PAN), 0.60 (APM) y 0.73 (PBT), lo cual deja al descubierto que el nivel de confianza de los intervalos calculados con el método Clásico en el conteo rápido de 2006 fue aún superior al 99 %, quizás algo así como 99.9 %.

La longitud de un intervalo de confianza es función creciente del nivel de confianza elegido, esto es, a mayor/menor nivel de confianza se obtiene una mayor/menor longitud del intervalo. En el informe del CTARCR al IFE (2006) quedó asentado que dicho comité técnico acordó, entre otras cosas, que el nivel de confianza de los intervalos sería de al menos 95 %. Pero al decir “al menos” dejó totalmente abierta la puerta a la discrecionalidad de quienes realizaron los cálculos de los intervalos, que ni siquiera utilizaron el mismo nivel de confiabilidad (99 % para el método Bayesiano, 99.9 % aproximadamente para el método Clásico). Y es que precisamente con discrecionalidad sobre el nivel de confianza a utilizar se puede lograr que los intervalos se separen o traslapan a placer, como se ilustra en la Figura 11.

Los intervalos estimados por el método denominado “Robusto” no son dignos de análisis alguno por la sencilla razón de que dicho método supone que la muestra ha sido seleccionada de acuerdo con un esquema aleatorio simple, lo cual resulta incongruente con el diseño de muestreo utilizado para dicho conteo rápido que fue *estratificado*. La idea de aplicar un *muestreo aleatorio estratificado* radica en el beneficio inferencial que se obtiene por establecer o escoger una estratificación tal que en cada estrato sea razonable suponer cierta homogeneidad en estas subpoblaciones, en contraste con la heterogeneidad que se tendría al obtener muestras directamente de la población total sin estratificar, en deterioro de la precisión de las inferencias que se desea realizar, véase por ejemplo Särndal *et al.* (1992). Es por ello que la longitud de los intervalos estimados por el método Robusto es considerablemente mayor que la de los métodos Bayesiano y Clásico, véase Figura 7. En el citado informe del CTARCR, respecto al método Robusto se afirma en la pág. 114:

	PAN	APMx	CPBT
PREP 3 de julio 10:36	36.40	21.48	35.41
ROBUSTO	(35.25,37.4)	(20.85,22.7)	(34.24,36.38)
CLÁSICO	(35.68,36.53)	(21.66,22.26)	(34.97,35.7)
BAYESIANO	(35.77,36.40)	(21.72,22.24)	(35.07,35.63)

Fuente: IFE (2006), ver referencias.

Figura 10: Resultados del conteo rápido de la elección presidencial de México en 2006, de acuerdo al informe del CTARCR al IFE (2006).

“[...] si se logra tener una gran parte de la muestra prevista, los intervalos producidos deberán ser muy parecidos a los obtenidos con los métodos Bayesiano y clásico.”

Como era de esperarse, no ocurrió así. A pesar de que se logró recabar 95.12 % del total de la muestra prevista para el conteo rápido, 99.8 % de los estratos y 100 % de los distritos (pág. 22 de dicho informe) es evidente que los intervalos producidos por el método “Robusto” distan mucho de los obtenidos por los métodos Bayesiano y Clásico. En el Cuadro 9 se presenta una matriz de distancias de Hausdorff (24) entre los intervalos generados por los tres métodos para los dos candidatos punteros, correspondiendo la matriz triangular superior a los intervalos estimados para FCH (PAN) y la inferior lo correspondiente a AMLO (PBT). Mientras que las distancias de Hausdorff entre intervalos de los métodos Clásico y Bayesiano están en el rango 0.09–0.10 %, la distancia del método Robusto respecto a los otros dos métodos oscila en 0.43–0.83 %.

distancia Hausdorff	Robusto	Clásico	Bayesiano
Robusto	–	0.43	0.52
Clásico	0.73	–	0.09
Bayesiano	0.83	0.10	–

Cuadro 9: Distancias de Hausdorff entre intervalos estimados bajo los métodos Robusto, Clásico y Bayesiano. Los valores de la matriz triangular superior corresponden a los intervalos estimados para FCH (PAN), y la inferior lo correspondiente a AMLO (PBT).

5. Conclusiones

Se demostró, tanto de forma teórica como mediante el análisis de un conteo rápido, que la **probabilidad de triunfo** electoral de un candidato puntero puede resultar muy cercana a 100 % a pesar de que exista traslape de los intervalos estimados para la proporción de votos de los dos candidatos punteros. Declarar “empate técnico” porque hay traslape de intervalos no tiene fundamento probabilístico ni justificación estadística,

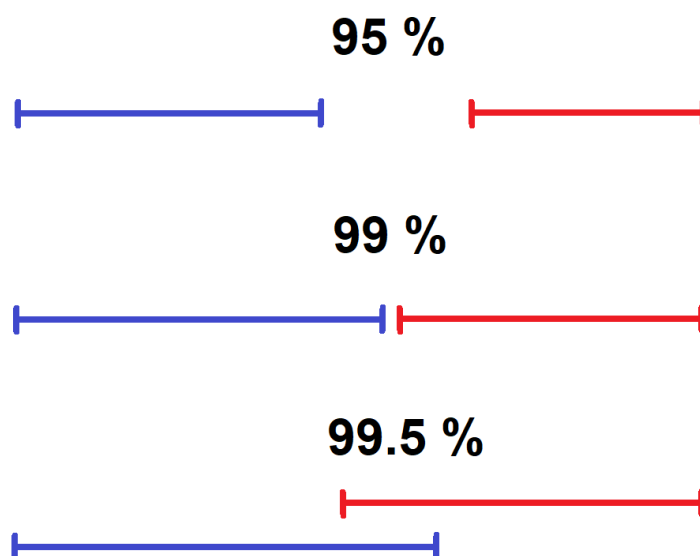


Figura 11: Con la misma información muestral es posible lograr que intervalos estimados se separen o traslapen modificando el nivel de confianza para calcularlos. *Fuente:* Elaboración propia.

y por tanto no es útil para interpretar encuestas o conteos rápidos electorales, ya que dichos intervalos se calculan de forma individual sin tomar en cuenta la dependencia probabilística entre candidatos, que resulta fundamental para contestar preguntas que involucran simultáneamente a dos o más de ellos, como por ejemplo que alguno triunfe sobre otro.

En el caso particular de México, el *Reglamento de Elecciones* del INE (2016) en su artículo 380, inciso 3, establece lo siguiente:

“Sea cual fuere la muestra recabada y los resultados obtenidos, el COTECORA¹⁴ deberá presentar un reporte al Consejo General u Órgano Superior de Dirección que corresponda, en el que indique, además, las condiciones bajo las cuales se obtuvieron los resultados, así como las conclusiones que de ellos puedan derivarse. Las estimaciones deberán presentarse en forma de intervalos de confianza para cada contendiente.”

Esta redacción no establece que las conclusiones deban derivarse exclusivamente de los intervalos de confianza, sino de los resultados obtenidos –en un sentido más general– a partir de la muestra recabada, y dentro de ello cabe incluir el cálculo de la **probabilidad de triunfo** del candidato puntero con base en dicha información muestral, y no necesariamente a partir del criterio de que exista o no traslape de dichos intervalos, que se demostró no tiene sustento estadístico. Si, por ejemplo, se reportara que determinado candidato resultó con probabilidad 99% de ser triunfador de la elección, se entiende (y puede explicarse así) que existe una probabilidad de 1% de que no resulte finalmente así en el recuento total de votos (cómputo distrital).

La **probabilidad de triunfo** es, como se explicó en la introducción del presente artículo citando a Lindley (2000), una medida del grado de certidumbre/incertidumbre sobre un evento de interés (el triunfo de un candidato en este caso) con base en la información disponible en un momento dado, y es así como podría explicarse a no expertos, porque es justamente lo que puede ofrecer la estadística con base en información parcial (muestral), ya que la certidumbre total solo es posible con acceso a la totalidad de la información.

¹⁴COTECORA significa Comité Técnico para los Conteos Rápidos.

Referencias

- Aparicio, J. (2009) Análisis estadístico de la elección presidencial de 2006 ¿fraude o errores aleatorios? *Política y Gobierno, Volumen Temático Elecciones en México* **2**, 225–243.
- Campos, R., Penna, C. (2004) ¿“Empate técnico” o “too close to call”? www.consulta.mx [consultado el 13-Ene-2018]
- Embrechts, P., McNeil, A.J., Strauman, D. (1999) Correlation: pitfalls and alternatives. *Risk Magazine* **5**, 69–71.
- Eslava, G. (2006) Las elecciones de 2006, un análisis del conteo rápido. *Ciencias* **84**, octubre-diciembre, 30–37. [En línea]
- Frank, M.J. (1979) On the simultaneous associativity of $F(x, y)$ and $x + y - F(x, y)$. *Aequationes Math.* **19**, 194–226.
- Fréchet, M. (1951) Sur les tableaux de corrélation dont les marges sont données. *Ann. Univ. Lyon* **14**, (Sect. A Ser. 3), 53–77.
- Hoeffding, W. (1940) Masstabinvariante Korrelationstheorie. *Schriften des Mathematischen Instituts und des Instituts für Angewandte Mathematik der Universität Berlin* **5**, 179–223.
- Hofert, M., Kojadinovic, I., Maechler, M., Yan, J. (2017) *copula: Multivariate Dependence with Copulas*. R package version 0.999-18 URL <https://CRAN.R-project.org/package=copula>
- Instituto Federal Electoral IFE (2006) *Informe sobre las actividades del Comité Técnico Asesor para la Realización de Conteos Rápidos*, 147 pp. www.portalanterior.ine.mx [consultado el 17 de diciembre de 2017]
- Instituto Nacional Electoral INE (2016) *Reglamento de Elecciones* (México). www.ine.mx [consultado el 12 de enero de 2018]
- Lindley, D.V. (2000) The Philosophy of Statistics. *Journal of the Royal Statistical Society. Series D (The Statistician)* **49** (3), 293–337.
- Mendoza, M., Nieto-Barajas, L.E. (2016) Quick counts in the Mexican presidential elections: A Bayesian approach. *Electoral Studies* **43**, 124–132.
- Munkres, J.R. (2002) *Topología*. Prentice Hall.
- Nelsen, R.B. (2006) *An Introduction to Copulas*. Springer.
- R Core Team (2017) R: A language and environment for statistical computing. *R Foundation for Statistical Computing*, Vienna, Austria. URL <https://www.R-project.org/>
- Särndal, C.-E., Swensson, B., Wretman, J. (1992) *Model Assisted Survey Sampling*. Springer.
- Sklar, A. (1959) Fonctions de répartition à n dimensions et leurs marges. *Publ. Inst. Statist. Univ. Paris*, **8**, 229–231.

Apéndice

Código en lenguaje de programación R para los cálculos del **Contraejemplo 3**, también descargable de <https://goo.gl/z5FYNg>

```
# Construccio'n de intervalo para X
gama <- 0.05 # la probabilidad del intervalo sera' 1-gama
x.sup <- 0.38 # extremo superior del intervalo
```

```

epsilon.X <- 0.03 # margen de error
x.inf <- x.sup - 2*epsilon.X # extremo inferior del intervalo
# Estimacio'n de para'metros alfa y beta:
hX <- function(ab) (qbeta(1 - gama/2, ab[1], ab[2]) - 2*x.sup)^2 +
                  (qbeta(gama/2, ab[1], ab[2]) - 2*x.inf)^2
(hX.optim <- nlm(hX, c(8, 1)))
# Comprobando probabilidad del intervalo:
pbeta(2*x.sup, hX.optim$estimate[1], hX.optim$estimate[2]) -
pbeta(2*x.inf, hX.optim$estimate[1], hX.optim$estimate[2])
# Graficar densidad de X y su intervalo:
x <- seq(0, 1/2, length.out = 1000)
plot(x, 2*dbeta(2*x, hX.optim$estimate[1], hX.optim$estimate[2]),
      type = "l", xlab = "proporcio'n de votos", ylab = "densidad de probabilidades",
      xlim = c(0.2, 0.45), col = "blue", lwd = 3, cex.lab = 1.5, cex.sub = 1.3)
rug(c(x.inf, x.sup), lwd = 3, col = "blue")
cat("Intervalo para X: [", x.inf, ",", x.sup, "]", "\n")
# Construccio'n de intervalo para Y
epsilon.Y <- 0.03 # margen de error
tau <- 0.005 # traslape
y.sup <- x.inf + tau # extremo superior del intervalo
y.inf <- y.sup - 2*epsilon.Y # extremo inferior del intervalo
# Estimacio'n de para'metros alfa y beta:
hY <- function(ab) (qbeta(1 - gama/2, ab[1], ab[2]) - 2*y.sup)^2 +
                  (qbeta(gama/2, ab[1], ab[2]) - 2*y.inf)^2
(hY.optim <- nlm(hY, c(8, 1)))
# Comprobando probabilidad del intervalo:
pbeta(2*y.sup, hY.optim$estimate[1], hY.optim$estimate[2]) -
pbeta(2*y.inf, hY.optim$estimate[1], hY.optim$estimate[2])
# Graficar densidad de Y y su intervalo:
lines(x, 2*dbeta(2*x, hY.optim$estimate[1], hY.optim$estimate[2]), col = "red", lwd = 3)
rug(c(y.inf, y.sup), lwd = 3, col = "red")
title("Intervalos traslapados", cex.main = 1.5)
cat("Intervalo para Y: [", y.inf, ",", y.sup, "]", "\n")
# Dependencia para (X,Y): Co'pula Frank
library(copula) # Paquete <copula> previamente instalado
rho <- -0.5 # valor de correlacio'n de Spearman (en [-1,+1])
(th <- iRho(frankCopula(), rho)) # calculando para'metro
Copula.Frank <- frankCopula(th) # definiendo la co'pula
n <- 1000000 # tamaño de la simulacio'n
set.seed(666) # especificando semilla para reproducibilidad
uv.sim <- rCopula(n, Copula.Frank) # simulando pseudo-observaciones
# Agregando dependencia a (X,Y):
xy.sim <- matrix(nrow = n, ncol = 2)
xy.sim[ , 1] <- (1/2)*qbeta(uv.sim[ , 1], hX.optim$estimate[1], hX.optim$estimate[2])
xy.sim[ , 2] <- (1/2)*qbeta(uv.sim[ , 2], hY.optim$estimate[1], hY.optim$estimate[2])
cor(xy.sim, method = "spearman")[1, 2] # comprobando correlacio'n obtenida
# Comprobando estimaciones puntuales y por intervalo:
quantile(xy.sim[ , 1], probs = c(gama/2, 1/2, 1-gama/2))
quantile(xy.sim[ , 2], probs = c(gama/2, 1/2, 1-gama/2))
# Estimando probabilidad de triunfo de X sobre Y:

```

```

(P.triunfoX <- mean(xy.sim[ , 1] > xy.sim[ , 2]))
# Graficar parte de las simulaciones de (X,Y)
dev.new()
plot(xy.sim[1:3000, ], xlab = "Proporción de votos para X",
      ylab = "Proporción de votos para Y", main = "Candidatos punteros",
      sub = paste("Correlación de Spearman = ", rho), cex.lab = 1.5,
      cex.main = 1.5, cex.sub = 1.3, xlim = c(.3,.4), ylim = c(.23,.36))
text(0.325, 0.235, paste("P(X > Y) =", P.triunfoX), cex = 2)
abline(a = 0, b = 1, lwd = 2)

```

Código en lenguaje de programación R para los cálculos sobre la **elección presidencial de 2006**, también descargable de <https://goo.gl/TKoctG>

```

# Construcción de intervalo para FCH (PAN)
gama <- 0.01 # la probabilidad del intervalo sera' 1-gama
x.inf <- 0.3577 # extremo inferior del intervalo
x.sup <- 0.3640 # extremo superior del intervalo
epsilon.X <- (x.sup - x.inf)/2 # margen de error
# Estimación de parámetros alfa y beta:
hX <- function(ab) (qbeta(1 - gama/2, ab[1], ab[2]) - 2*x.sup)^2 +
                  (qbeta(gama/2, ab[1], ab[2]) - 2*x.inf)^2
(hX.optim <- nlm(hX, c(18, 18)))
# Comprobando probabilidad del intervalo:
pbeta(2*x.sup, hX.optim$estimate[1], hX.optim$estimate[2]) -
pbeta(2*x.inf, hX.optim$estimate[1], hX.optim$estimate[2])
# Graficar densidad de FCH y su intervalo:
x <- seq(0, 1/2, length.out = 10000)
plot(x, 2*dbeta(2*x, hX.optim$estimate[1], hX.optim$estimate[2]),
      type = "l", xlab = "proporción de votos", ylab = "densidad de probabilidades",
      xlim = c(0.345, 0.365), col = "blue", lwd = 3, cex.lab = 1.5, cex.sub = 1.3,
      ylim = c(0, 400))
rug(c(x.inf, x.sup), lwd = 3, col = "blue")
cat("Intervalo FCH: [", x.inf, ",", x.sup, "]", "\n")
# Construcción de intervalo para AML0 (PBT)
y.inf <- 0.3507 # extremo inferior del intervalo
y.sup <- 0.3563 # extremo superior del intervalo
epsilon.Y <- (x.sup - x.inf)/2 # margen de error
# Estimación de parámetros alfa y beta:
hY <- function(ab) (qbeta(1 - gama/2, ab[1], ab[2]) - 2*y.sup)^2 +
                  (qbeta(gama/2, ab[1], ab[2]) - 2*y.inf)^2
(hY.optim <- nlm(hY, c(18, 18)))
# Comprobando probabilidad del intervalo:
pbeta(2*y.sup, hY.optim$estimate[1], hY.optim$estimate[2]) -
pbeta(2*y.inf, hY.optim$estimate[1], hY.optim$estimate[2])
# Graficar densidad de PBT y su intervalo:
lines(x, 2*dbeta(2*x, hY.optim$estimate[1], hY.optim$estimate[2]), col = "red", lwd = 3)
rug(c(y.inf, y.sup), lwd = 3, col = "red")
title("AML0 (rojo) versus FCH (azul)", cex.main = 1.5)
cat("Intervalo para AML0: [", y.inf, ",", y.sup, "]", "\n")
# Dependencia para (FCH,AML0): Co'pula Normal

```

```

library(copula) # Paquete <copula> previamente instalado
rho <- -0.6 # valor de correlacio'n de Spearman (en [-1,+1])
(th <- iRho(normalCopula(), rho)) # calculando para'metro
Copula.Normal <- normalCopula(th) # definiendo la co'pula
n <- 10000000 # tamaño de la simulacio'n
set.seed(777) # especificando semilla para reproducibilidad
uv.sim <- rCopula(n, Copula.Normal) # simulando pseudo-observaciones
# Agregando dependencia a (X,Y):
xy.sim <- matrix(nrow = n, ncol = 2)
xy.sim[ , 1] <- (1/2)*qbeta(uv.sim[ , 1], hX.optim$estimate[1], hX.optim$estimate[2])
xy.sim[ , 2] <- (1/2)*qbeta(uv.sim[ , 2], hY.optim$estimate[1], hY.optim$estimate[2])
cor(xy.sim, method = "spearman")[1, 2] # comprobando correlacio'n obtenida
# Comprobando estimaciones puntuales y por intervalo:
quantile(xy.sim[ , 1], probs = c(gama/2, 1/2, 1-gama/2))
quantile(xy.sim[ , 2], probs = c(gama/2, 1/2, 1-gama/2))
# Estimando probabilidad de triunfo de X sobre Y:
(P.triunfoX <- mean(xy.sim[ , 1] > xy.sim[ , 2]))
# Estimando probabilidad de diferencia menor a 0.6%
(P.diferencia <- mean(abs(xy.sim[ , 1] - xy.sim[ , 2]) < 0.006))
# Graficar parte de las simulaciones de (X,Y)
dev.new()
plot(xy.sim[1:30000, ], xlab = "Proporcio'n de votos para FCH (PAN)",
      ylab = "Proporcio'n de votos para AML0 (PBT)", main = paste("P( PAN > PBT ) =", P.triunfoX),
      sub = paste("Correlacio'n de Spearman = ", rho), cex.lab = 1.5,
      cex.main = 1.5, cex.sub = 1.3, xlim = c(.35,.365), ylim = c(.35,.365))
abline(a = 0, b = 1, lwd = 2)
abline(a = -0.006, b = 1, lwd = 2, lty = "dashed")
abline(a = 0.006, b = 1, lwd = 2, lty = "dashed")

```